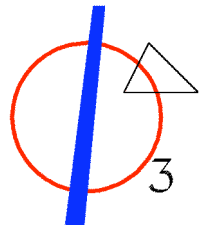
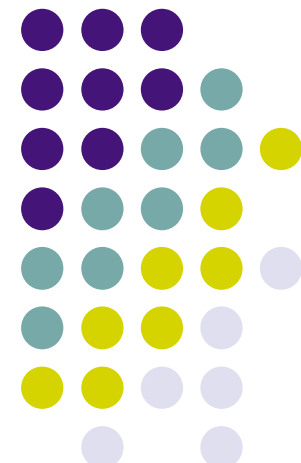


# B中間子のDK崩壊を用いた CP非保存角phi3の研究



2009年2月3日  
草野智則

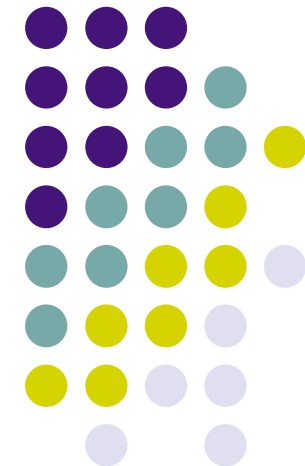
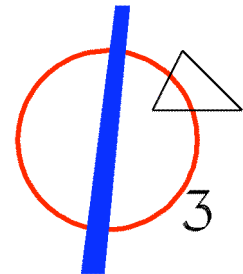




# 概要

- CP非保存角 $\phi_3$
- Belle実験
- $B \rightarrow D_1 K$ の解析
- 結果

# CP非保存角 $\phi_3$





# CP非保存

- CP (C:Charge, P:Parity)非保存の精密測定
  1. 消えた反物質の手がかり
  2. CP非保存はフレーバー混合に起源を持つ  
→フレーバーに関するパラメータの精密測定

→CP非保存の精密測定はフレーバー物理の観点から、標準理論(特にCKM理論)の検証や新しい物理を発見する手がかりとなる。



# CKM機構

- CKM機構: 弱い相互作用でCP非保存

弱い相互作用のラグランジアン:

$$\mathcal{L}_{\text{int}} = -\frac{g}{\sqrt{2}}(V_{CKM} \bar{U}_L \gamma_\mu D_L W_\mu^+) + h.c$$

$$V_{CKM} = \begin{pmatrix} V_{ud} & V_{us} & V_{ub} \\ V_{cd} & V_{cs} & V_{cb} \\ V_{td} & V_{ts} & V_{tb} \end{pmatrix}$$

$U=(u,c,t)$   
 $D=(d,s,b)$   
 $U_L, D_L$ : 左巻き部分

CKM行列はユニタリ行列  
複素位相の数は世代数をNとすると  
 $(N-1)(N-2)/2$

クオークが3世代以上  
→CKM行列はCPを破る複素位相を持つ



# ユニタリティー三角形

- CKM行列はカビボ因子 $\lambda$ で展開できる。

$$\lambda \sim 0.22$$

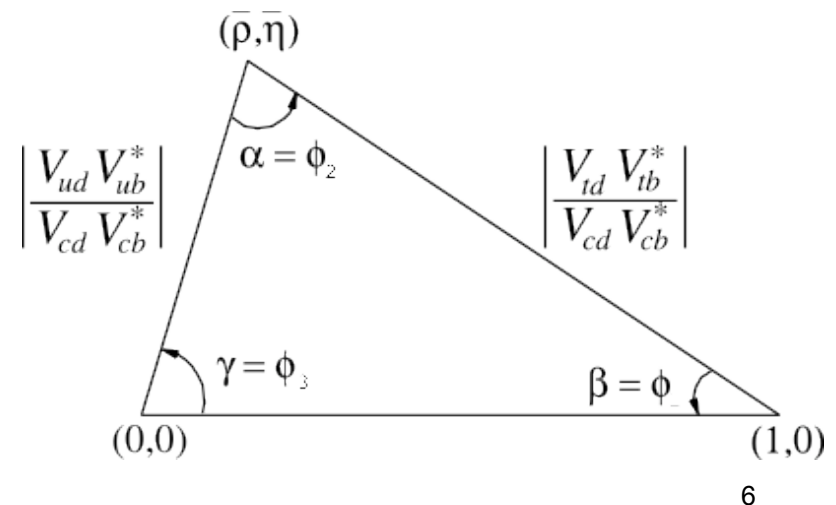
$$V_{CKM} = \begin{pmatrix} V_{ud} & V_{us} & V_{ub} \\ V_{cd} & V_{cs} & V_{cb} \\ V_{td} & V_{ts} & V_{tb} \end{pmatrix} = \begin{pmatrix} 1 - \frac{\lambda^2}{2} & \lambda & A\lambda^3(\rho - i\eta) \\ -\lambda & 1 - \frac{\lambda^2}{2} & A\lambda^2 \\ A\lambda^3(1 - \rho - i\eta) & -A\lambda^2 & 1 \end{pmatrix} + O(\lambda^4)$$

$V_{CKM}$ はユニタリ行列:  $V_{CKM}^\dagger V_{CKM} = 1$

$$V_{ud}V_{ub}^* + V_{cd}V_{cb}^* + V_{td}V_{tb}^* = 0$$

→ 複素平面上に三角形を描く  
CP非保存 → 三角形の面積が0でない  
本研究: 最も測定が困難な $\phi_3$ の研究

$$\phi_3 \equiv \arg \left( \frac{V_{ud}V_{ub}^*}{-V_{cd}V_{cb}^*} \right)$$



# $\phi_3$ の測定(1):干渉によるCPの破れ



$\phi_3$ の測定は  $V_{ub}$  の位相測定

$$\phi_3 \sim \arg(V_{ub}^*)$$

$B \rightarrow D\bar{K}$  の崩壊を用いる。

$B$  が  $D^0$  または  $\bar{D}^0$  を経て同じ終状態  $fK^-$  へ崩壊する振幅

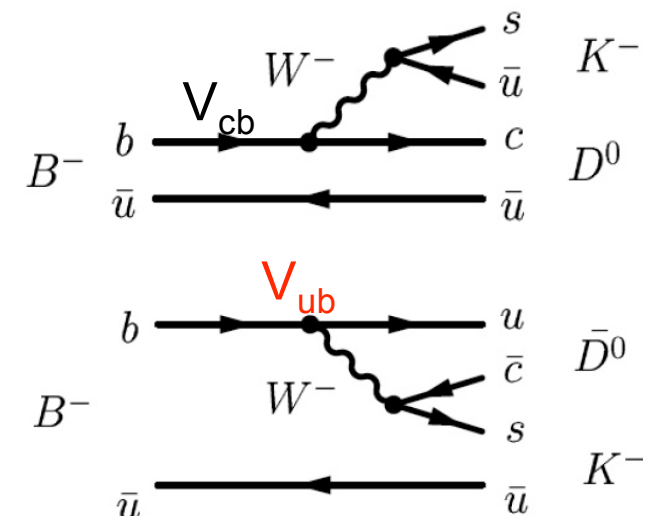
$$A(B^- \rightarrow [f]_D K^-) = A(B^- \rightarrow D^0 K^- \rightarrow f K^-) + A(B^- \rightarrow \bar{D}^0 K^- \rightarrow f K^-) \\ = A_B A_D \{ r_D + r_B \exp(i(\delta - \phi_3)) \}$$

$$A(B^+ \rightarrow [\bar{f}]_D K^+) = A(B^+ \rightarrow \bar{D}^0 K^+ \rightarrow \bar{f} K^+) + A(B^+ \rightarrow D^0 K^+ \rightarrow \bar{f} K^+) \\ = A_B A_D \{ r_D + r_B \exp(i(\delta + \phi_3)) \}$$

$$A_B(\bar{A}_B) = |A(B^- \rightarrow D^0(\bar{D}^0) K^-)| \quad A_D(\bar{A}_D) = |A(D^0 \rightarrow \bar{f}(f))|$$

$$r_{B(D)} = \bar{A}_{B(D)}/A_{B(D)}$$

$\phi_3$ : CP変換で符号反転,  $\delta$ : 強い相互作用の位相差(CP変換で不变)



$D^0$  と  $\bar{D}^0$  が同じ終状態へ崩壊

→  $\phi_3$ 、 $\delta$  起因の干渉による直接的なCPの破れ



# $\phi_3$ の測定(2):ADS法

崩壊分岐比( $\Gamma = A^2$ )から $\phi_3$ を測定

終状態fに対して崩壊分岐比の比 $R_f$ とCP非対称度 $A_f$ が求まる。

$$R_f \equiv \frac{\Gamma(B^- \rightarrow [f]_D K^-) + \Gamma(B^+ \rightarrow [\bar{f}]_D K^+)}{\Gamma(B^- \rightarrow [\bar{f}]_D K^-) + \Gamma(B^+ \rightarrow [f]_D K^+)} = r_B^2 + r_D^2 + 2r_B r_D \cos \phi_3 \cos \delta$$

$$A_f \equiv \frac{\Gamma(B^- \rightarrow [f]_D K^-) - \Gamma(B^+ \rightarrow [\bar{f}]_D K^+)}{\Gamma(B^- \rightarrow [f]_D K^-) + \Gamma(B^+ \rightarrow [\bar{f}]_D K^+)} = \frac{2r_B r_D \sin \phi_3 \sin \delta}{r_B^2 + r_D^2 + 2r_B r_D \cos \phi_3 \cos \delta}$$

未知変数: $\phi_3, r_B, \delta$

2つの終状態 $f_1, f_2$ から $A_{f1}, A_{f2}, R_{f1}, R_{f2}$ を測定した場合、  
未知変数 $\phi_3, r_B, \delta$ のうち、 $\phi_3, r_B$ はどの終状態でも共通

終状態 $f_1$

$$\begin{aligned} A_{f1}(\phi_3, r_B, \delta_1) \\ R_{f1}(\phi_3, r_B, \delta_1) \end{aligned}$$

+

終状態 $f_2$

$$\begin{aligned} A_{f2}(\phi_3, r_B, \delta_2) \\ R_{f2}(\phi_3, r_B, \delta_2) \end{aligned}$$

→

4つの未知変数  
4つの式

2つの終状態を解析 →  $\phi_3$ が測定可能  
より多くの終状態を解析 →  $\phi_3$ の精密測定



# B → D<sub>1</sub>K

- 本研究で解析する崩壊: B → D<sub>1</sub>K  
D<sub>1</sub>: CP evenの固有状態(K<sup>+</sup>K<sup>-</sup>、π<sup>+</sup>π<sup>-</sup>)

$$D_1 = \frac{1}{\sqrt{2}}(D^0 + \bar{D}^0)$$

ADS法に用いる崩壊の中では崩壊分岐比が大きく、精密に測定できる

$$\mathcal{A}_1 \equiv \frac{\Gamma(B^- \rightarrow D_1 K^-) - \Gamma(B^+ \rightarrow D_1 K^+)}{\Gamma(B^- \rightarrow D_1 K^-) + \Gamma(B^+ \rightarrow D_1 K^+)} = \frac{2r_B r_D \sin \phi_3 \sin \delta}{r_B^2 + r_D^2 + 2r_B r_D \cos \phi_3 \cos \delta}$$

$$\mathcal{R}_1 = \frac{\mathcal{R}^{DK}}{\mathcal{R}^{D\pi}} = r_B^2 + r_D^2 + 2r_B r_D \cos \phi_3 \cos \delta$$

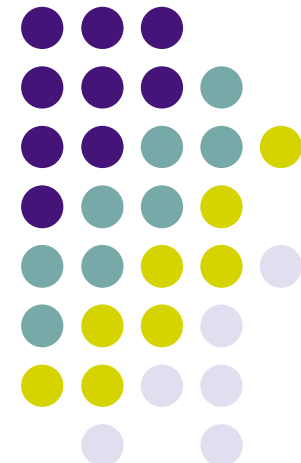
$$\mathcal{R}^{DK(\pi)} = \frac{\Gamma(B^- \rightarrow D_1 K^-(\pi^-)) + \Gamma(B^+ \rightarrow D_1 K^+(\pi^+))}{\Gamma(B^- \rightarrow D^0 K^-(\pi^-)) + \Gamma(B^+ \rightarrow D^0 K^+(\pi^+))}$$

$r_B \sim 0.1$   
 $r_D = 1$

B → Dπ: B → DKと崩壊が似ており、比をとることにより系統誤差を相殺

本研究: B → D<sub>1</sub>Kから  $\mathcal{A}_1, \mathcal{R}_1$  を測定

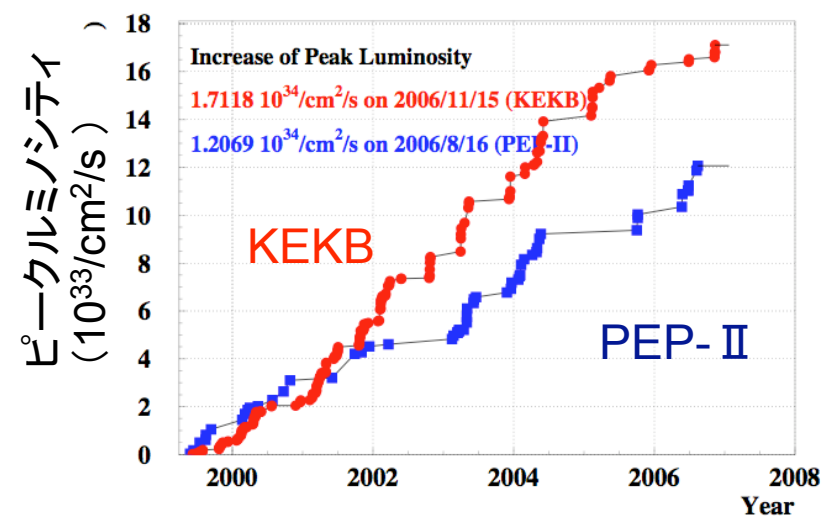
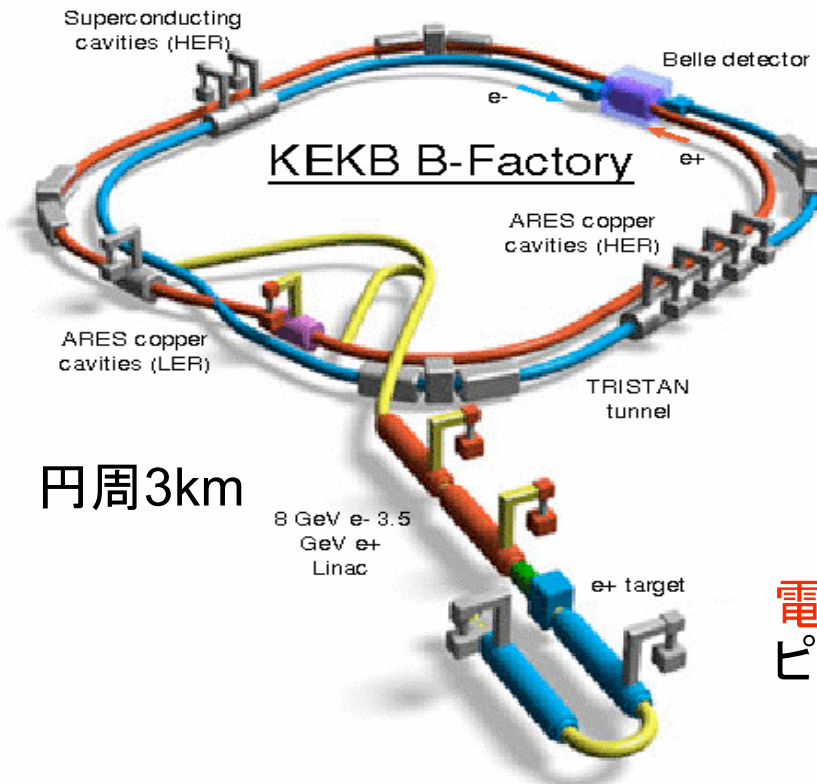
# Belle実験





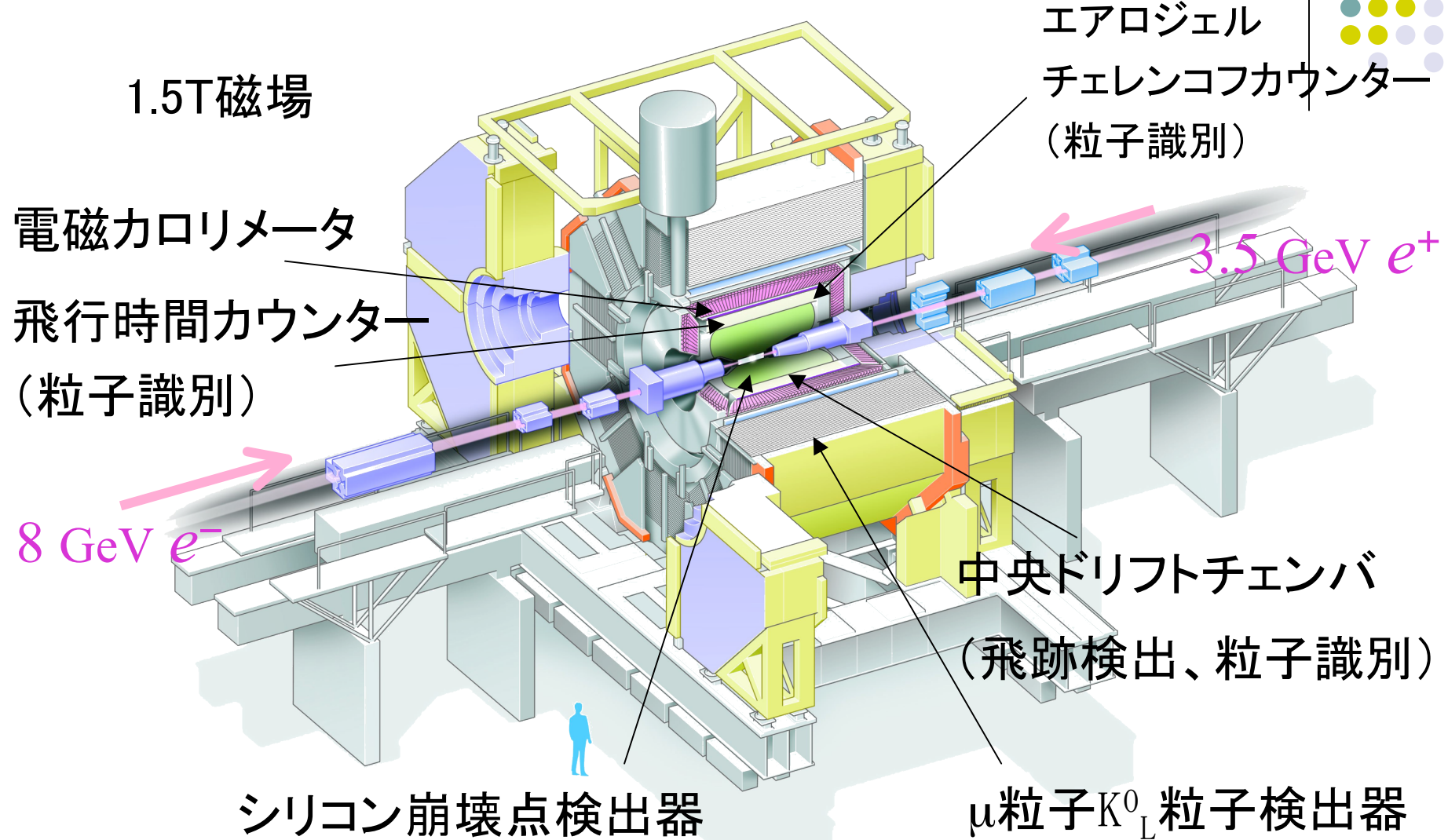
# Belle実験

- Belle実験: 大量のB中間子を生成
- KEKB加速器: 電子8.0GeV、陽電子3.5GeV、重心エネルギー10.6GeVの非対称衝突型加速器  
(B中間子一対がしきい値で生成)

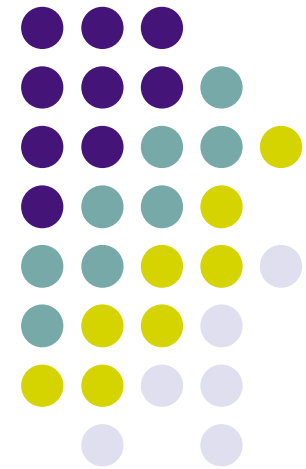


電子陽電子衝突器として世界最高のルミノシティ  
ピークルミノシティ:  $1.7 \times 10^{34}/\text{cm}^2/\text{s}$

# Belle検出器



# B $\rightarrow$ D<sub>1</sub>Kの解析





# 解析の流れ

- データサンプル:  $388 \times 10^6$  の BBペアに対応
- 再構成する崩壊  $(B^- \rightarrow [K^- K^+]_D K^- \equiv B \rightarrow D K^-, D \rightarrow K^- K^+)$

CP非対称性の測定

$$B^- \rightarrow D_1 K^-$$
$$(B^- \rightarrow [K^- K^+]_D K^- + B^- \rightarrow [\pi^- \pi^+]_D K^-)$$

$B^- \rightarrow D_1 K^-$  と崩壊分岐比の比を測定  
(CP非対称性ほぼなし)

$$B^- \rightarrow D_1 \pi^-$$
$$(B^- \rightarrow [K^- K^+]_D \pi^- + B^- \rightarrow [\pi^- \pi^+]_D \pi^-)$$
$$B^- \rightarrow [K^- \pi^+]_D K^-$$
$$B^- \rightarrow [K^- \pi^+]_D \pi^-$$

• Bの崩壊分岐比

= シグナル数 / BBペア / 検出効率 / Dの崩壊分岐比

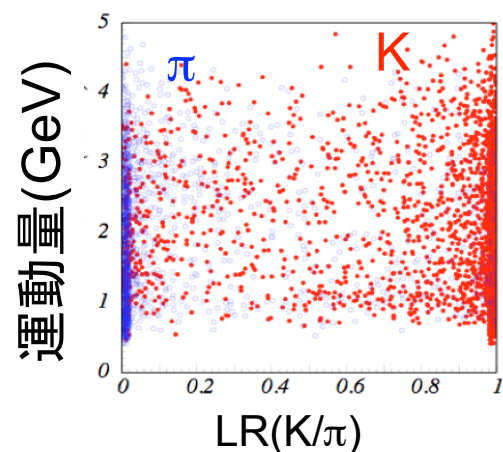
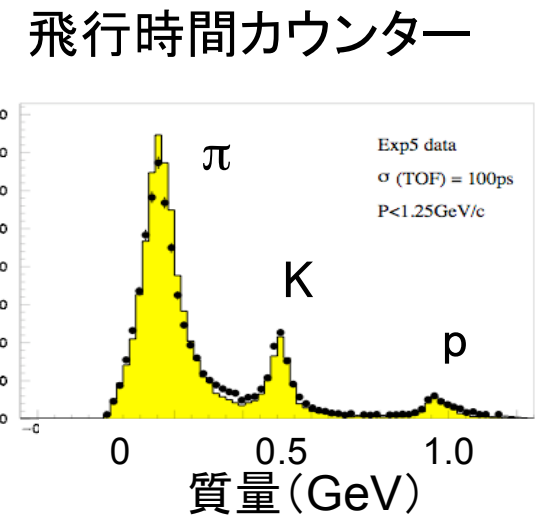
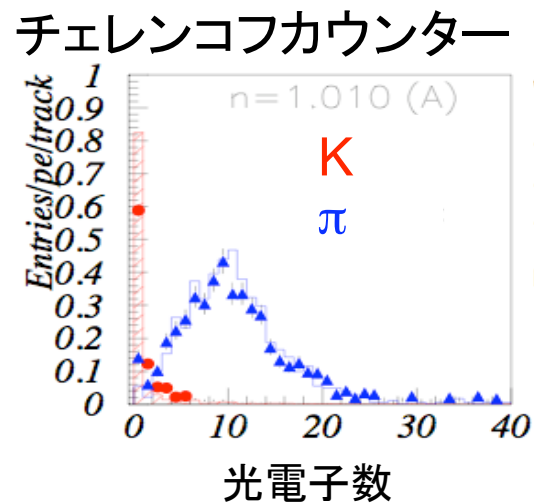
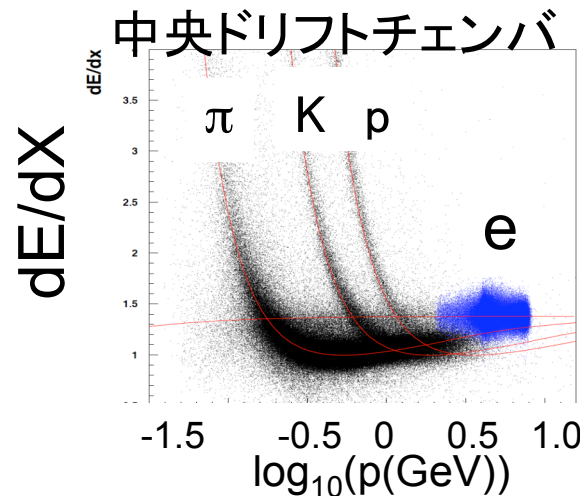
→ 検出効率、崩壊を再構成してシグナルのイベント数を求めれば良い。



# 粒子の識別

この解析では終状態の粒子は $K^\pm$ と $\pi^\pm$ 。

各検出器の情報を合わせて得る $K/\pi$ に対するライクリフッド比 $LR(K/\pi)$ から識別。



- 粒子識別の要求

- Dの崩壊粒子

- $K : LR(K/\pi) > 0.3, \pi : LR(K/\pi) < 0.7$

- Bから直接崩壊した粒子

- $K : LR(K/\pi) > 0.8, \pi : LR(K/\pi) < 0.8$

# イベントの選択と再構成



- D(1.865GeV)の再構成: 電荷の異なる $K^\pm$ 、 $\pi^\pm$ から再構成  
→  $1.85\text{GeV} < (\text{再構成した不変質量 } M_D) < 1.88\text{GeV}$
- B(5.279GeV)の再構成: Dと $K^-/\pi^-$ から再構成  
次の2つの量を利用

$M_{bc}$ : ビームコンストレインド質量

$$M_{bc} = \sqrt{\underline{E_{beam}^2} - (p_D + p_{K/\pi})^2} \quad (m_B = \sqrt{\underline{E_B^2} - (p_D + p_{K/\pi})^2})$$

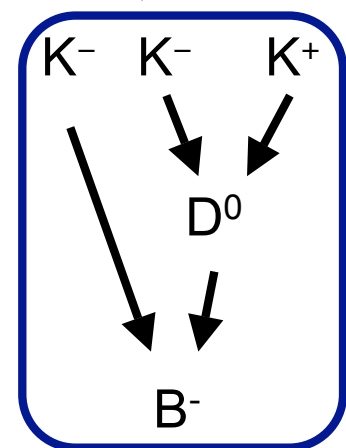
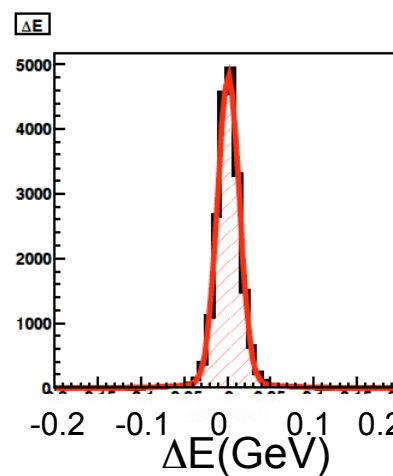
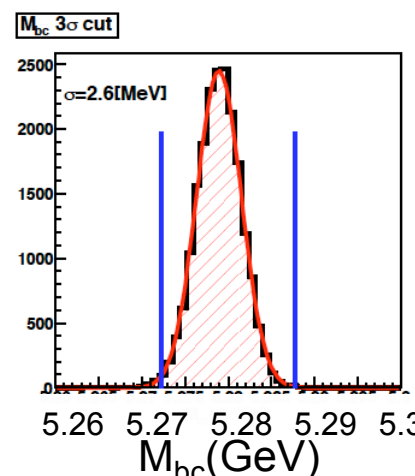
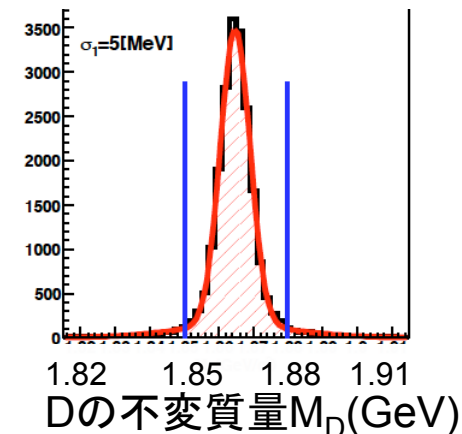
$$\rightarrow 5.27\text{GeV} < M_{bc} < 5.29\text{GeV}$$

$\Delta E$ : エネルギー差

$$\Delta E = E_D + E_{K/\pi} - E_{beam} \quad ((\text{再構成エネルギー}) - (\text{Bが持つべきエネルギー}))$$

シグナルの導出に用いる

シグナル  
モンテカルロ





# 主なバックグラウンド

1. B以外の崩壊  
 $e^+e^- \rightarrow qq$  ( $q=u,d,c,s$ )

2. Bの崩壊  
非検出粒子あり  
 $B \rightarrow D^*\pi, B \rightarrow D^*K$ など

3. Bの崩壊  
全粒子を検出  
粒子の誤識別あり  
 $B \rightarrow D\pi$

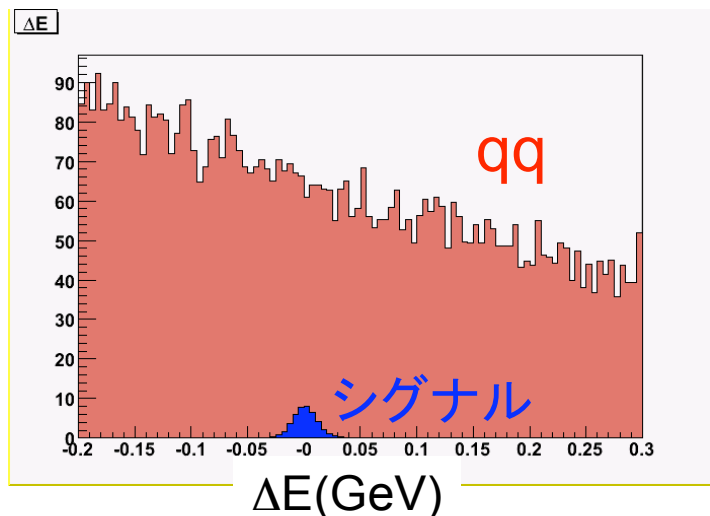
4. Bの崩壊  
全粒子を検出  
粒子の誤識別なし  
組み違え、希崩壊  
 $B \rightarrow [K\pi]_D\pi, B \rightarrow KKK, B \rightarrow \pi\pi K$

これらのバックグラウンドを除去、  
およびフィットでイベント数を評価。

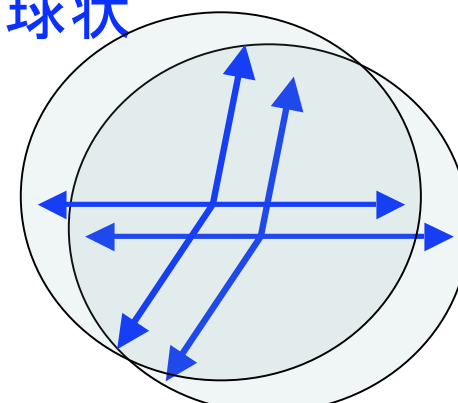


# $e^+e^- \rightarrow qq$ バックグラウンド(1)

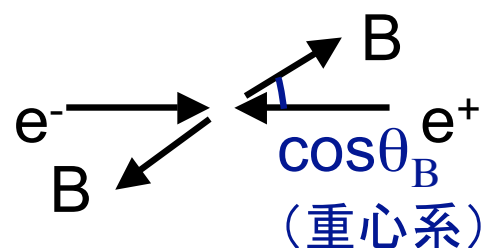
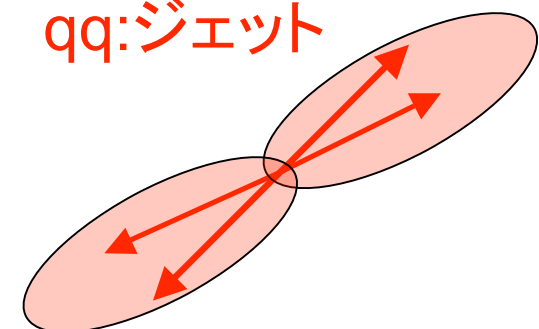
- $e^+e^- \rightarrow qq$  ( $q=u,d,c,s$ )、 $\Delta E$ に一様分布するバックグラウンド  
イベントの形状、 $e^+e^-$ の重心系の角度分布( $\cos\theta_B$ )で区別



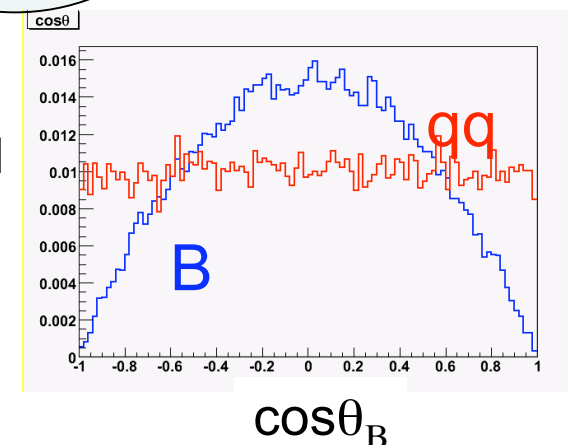
B:球状



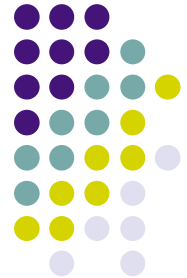
qq:ジェット



軌道角運動量 1  
角度分布  
 $1-\cos\theta_B^2$

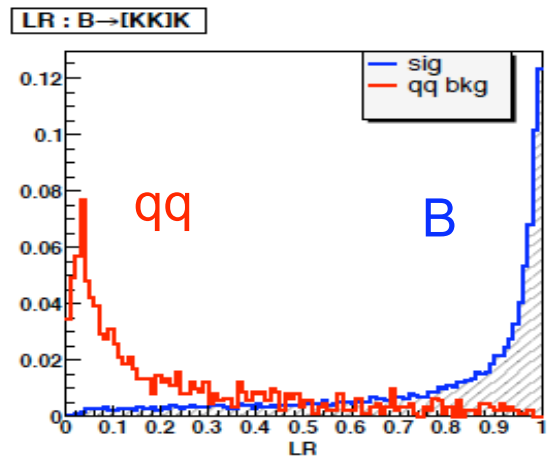


角度分布  
ほぼ一様



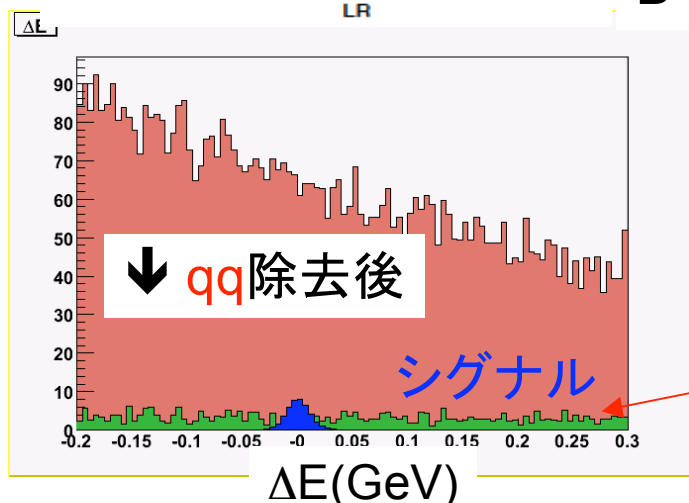
# e<sup>+</sup>e<sup>-</sup>→qq/バックグラウンド(2)

- イベントの形状、e<sup>+</sup>e<sup>-</sup>重心系の角度分布からBとqqに対するライクリフッド比:LRを得る



モンテカルロから、統計誤差に対してシグナル数が最大になるように選択基準を決定

崩壊	LR	シグナル保持率	BG除去率
$B \rightarrow [KK]_D K(\pi)$ :	$LR > 0.45$	0.86	0.82
$B \rightarrow [\pi\pi]_D K(\pi)$ :	$LR > 0.75$	0.68	0.95
$B \rightarrow [K\pi]_D K(\pi)$ :	$LR > 0.15$	0.96	0.53



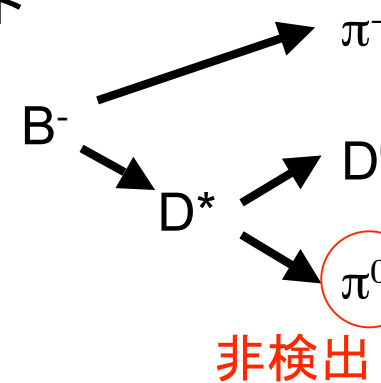
$B \rightarrow DK$ と $B \rightarrow D\pi$ に同じ選択を課して系統誤差を相殺

残り(緑)は直線でフィット



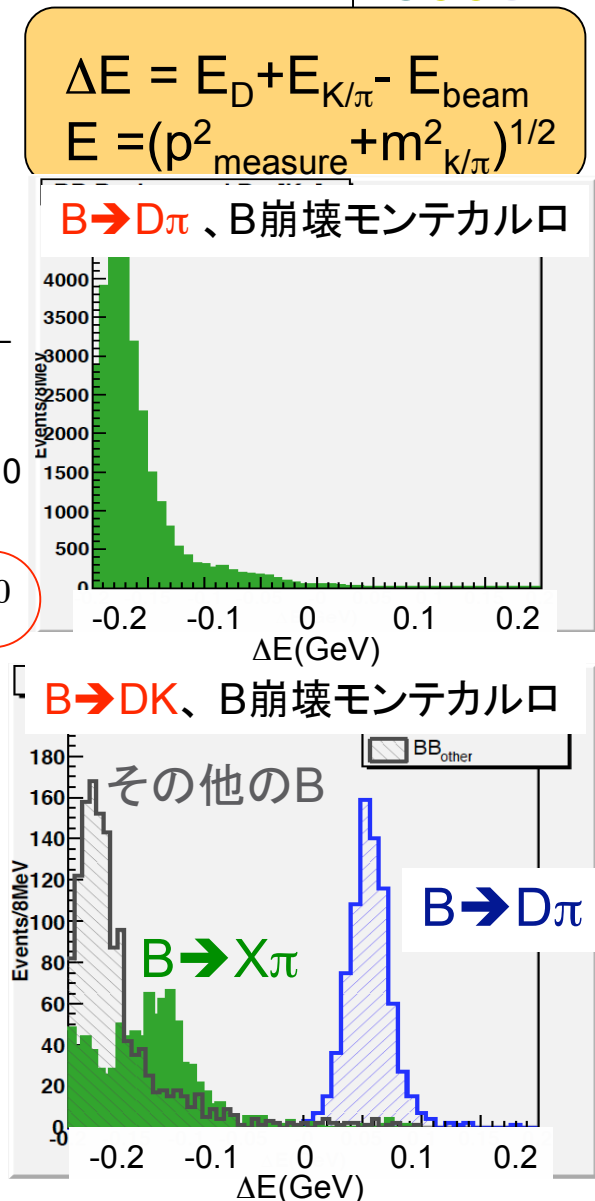
# Bの崩壊によるバックグラウンド

- シグナル:  $B \rightarrow D\pi$   
バックグラウンド: Bの崩壊で非検出粒子があるもの  
( $B^- \rightarrow D^*\pi^-$ など)  
 $\Delta E$ は負にシフト  
→ モンテカルロから形を決めてフィット



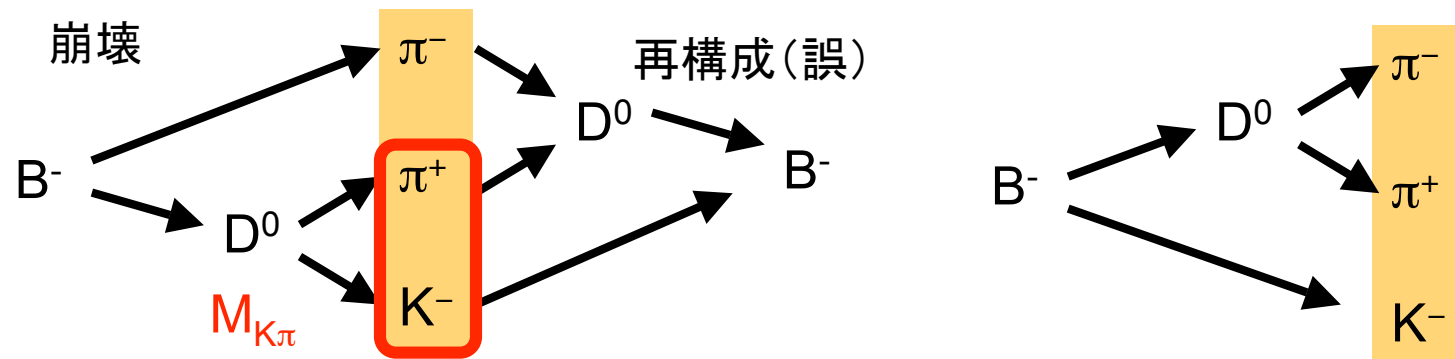
- シグナル:  $B \rightarrow DK$   
バックグラウンド1:  $B \rightarrow D\pi$   
(非検出粒子なし)  
 $\pi(140\text{MeV})$ を $K(490\text{MeV})$ と誤識別  
 $\Delta E$ は正にシフト  
→ 二つの非対称ガウシアンの和でフィット

バックグラウンド2:  $B \rightarrow X\pi$  (非検出粒子あり)  
 $B \rightarrow D^*\pi$ を $B \rightarrow D^*K$ と誤識別など  
バックグラウンド3: その他のB  
 $B \rightarrow D^*K$ など  
→ 2成分に分けてモンテカルロで形を決定



# $B \rightarrow [\pi\pi]_D K$ シグナルに対する $B \rightarrow [K\pi]_D \pi$ バックグラウンド

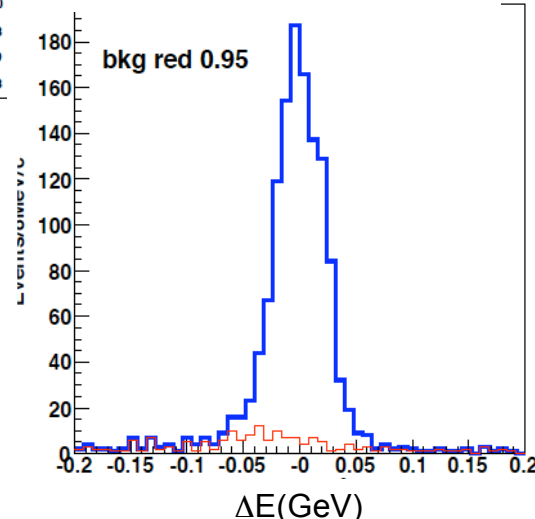
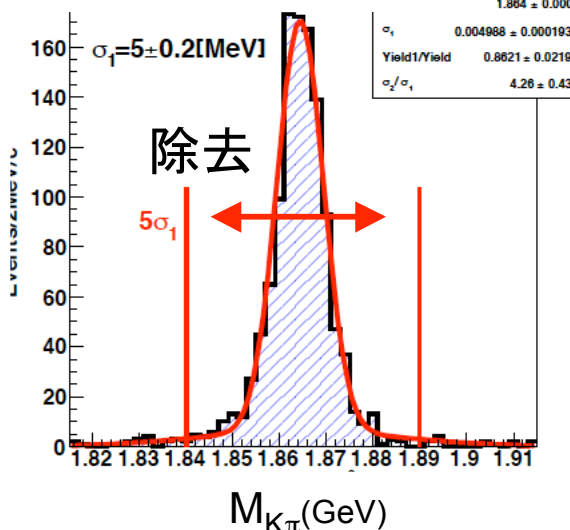
バックグラウンド:  $B \rightarrow [K\pi]_D \pi$   $O(10^{-5})$       シグナル:  $B \rightarrow [\pi\pi]_D K$   $O(10^{-7})$



終状態がシグナルと同じ  $\rightarrow$  シグナルと同じく  $\Delta E = 0$  でピーグを持つ  
 $M_{K\pi}$  が  $D$  の質量を持つイベントを除去

$M_{K\pi}: B \rightarrow [K\pi]_D \pi ; MC$        $\Delta E: B \rightarrow [K\pi]_D \pi ; MC$

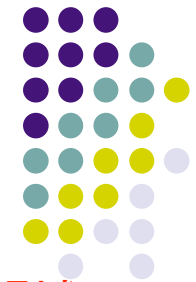
$$\Delta E = E_D + E_{K/\pi} - E_{beam}$$



除去前  
除去後

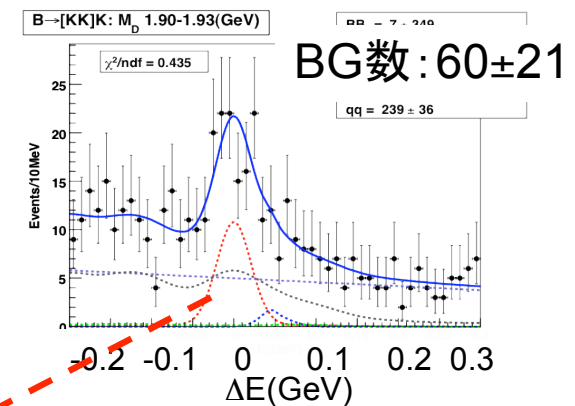
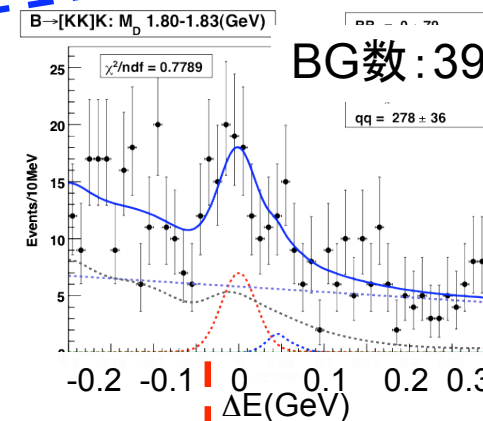
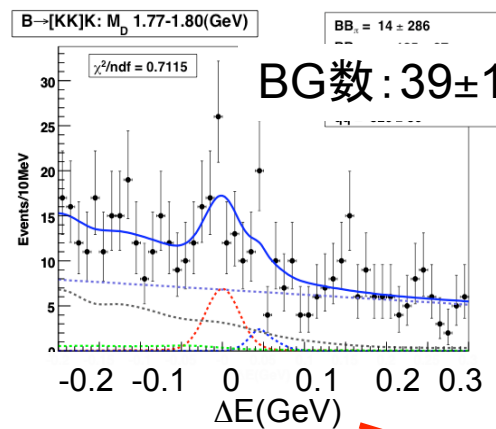
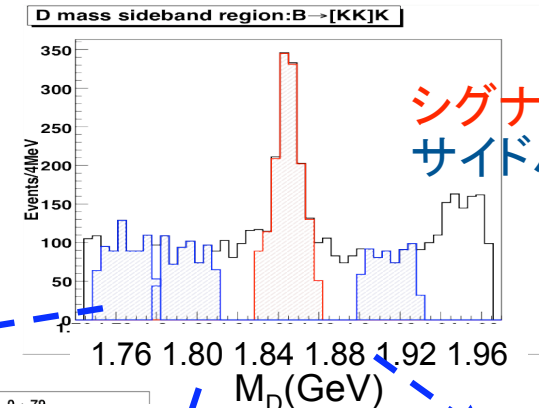
$1.84 \text{ GeV} < M_{K\pi} < 1.89 \text{ GeV}$  を除去  
 $\rightarrow$  95% のバックグラウンドが除去  
 シグナルはほぼ 100% 保持

# $B \rightarrow [KK]_D K$ $B \rightarrow [\pi\pi]_D K$ シグナルに対する $B \rightarrow KKK$ , $B \rightarrow \pi\pi K$ バックグラウンド

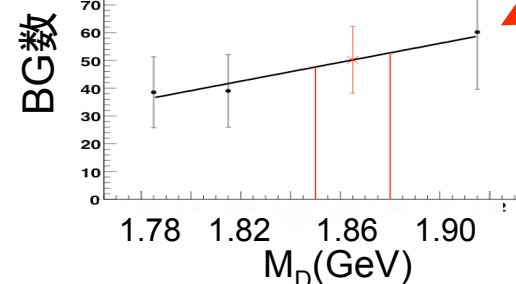


シグナル	バックグラウンド
$B \rightarrow [KK]_D K$	$B \rightarrow KKK$
$B \rightarrow [\pi\pi]_D K$	$B \rightarrow \pi\pi K$

Dを介さない希崩壊。Dの不変質量で一様  
→サイドバンド領域でBG数を評価



3つのサイドバンド領域から  
シグナル領域の  
バックグラウンドを  
直線でフィットして評価



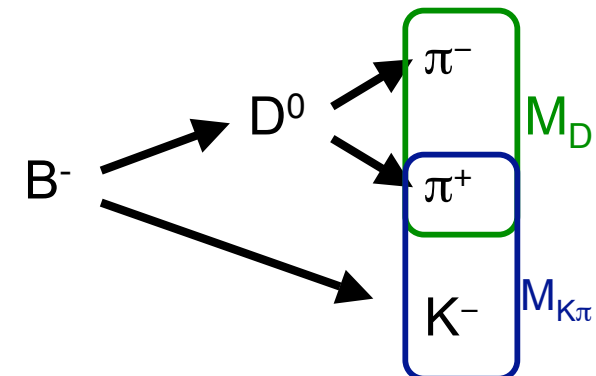
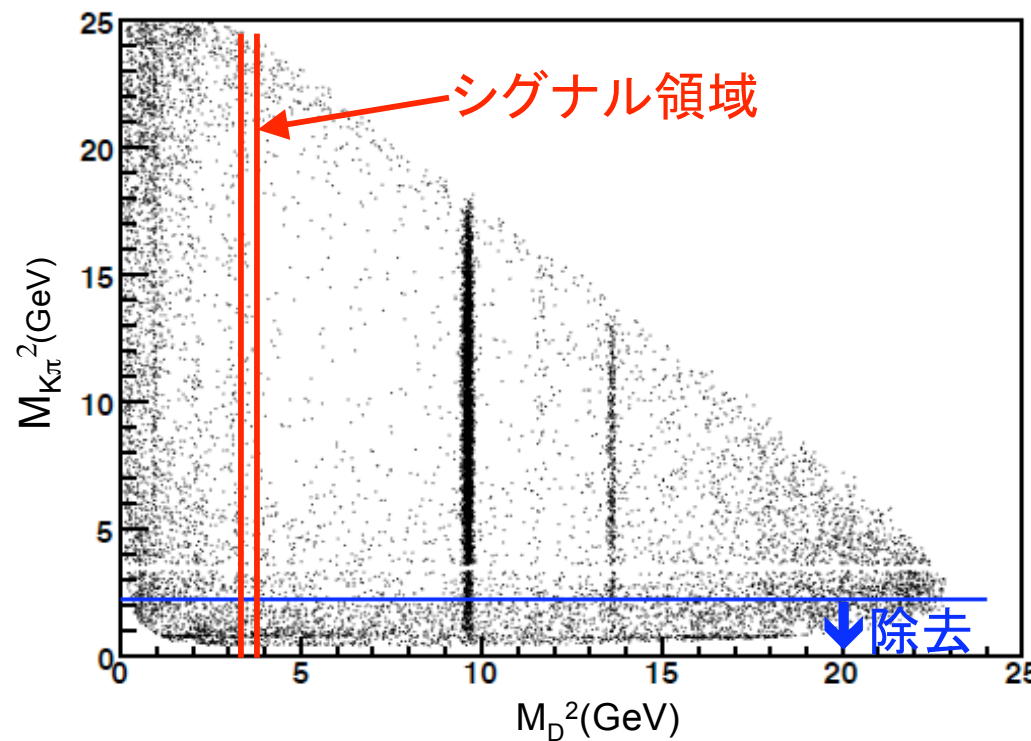
BG数:  $50 \pm 12$  ( $B \rightarrow KKK$ )  
同様に  $8 \pm 7$  ( $B \rightarrow \pi\pi K$ )



# ダリツツ平面を用いた バックグラウンドの除去

- シグナル:  $B \rightarrow [\pi\pi]_D K$
- ダリツツ平面の分布から、統計誤差に対してシグナル数が大きくなるようなカットを導入(モンテカルロ利用)

$B \rightarrow [\pi\pi]_D K$  ダリツツ平面



$M_{K\pi}^2 < 2.3$ を除去  
シグナル数/統計誤差:  
 $4.3 \rightarrow 4.8$



# 検出効率

モンテカルロを用いて、イベント選択を行った後の検出効率を求めた

過程	検出効率(%)
$B \rightarrow D_1 K :$	27.6
$(B \rightarrow [KK]_D K :)$	29.2)
$(B \rightarrow [\pi\pi]_D K :)$	23.2)
$B \rightarrow [K\pi]_D K :$	33.9
$B \rightarrow D_1 \pi :$	35.2
$(B \rightarrow [KK]_D \pi :)$	36.0)
$(B \rightarrow [\pi\pi]_D \pi :)$	32.8)
$B \rightarrow [K\pi]_D \pi :$	42.7



# B $\rightarrow$ D $\pi$ のシグナルの導出

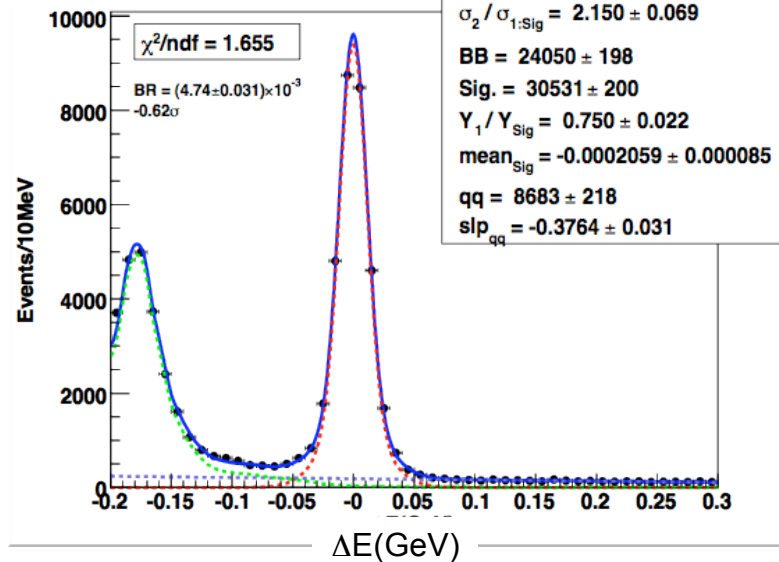
- ΔE分布をフィットしてシグナルを求める

赤: シグナル、2つのガウシアンの和

紫:  $e^+e^- \rightarrow qq$  (q=u,d,c,s) バックグラウンド、直線

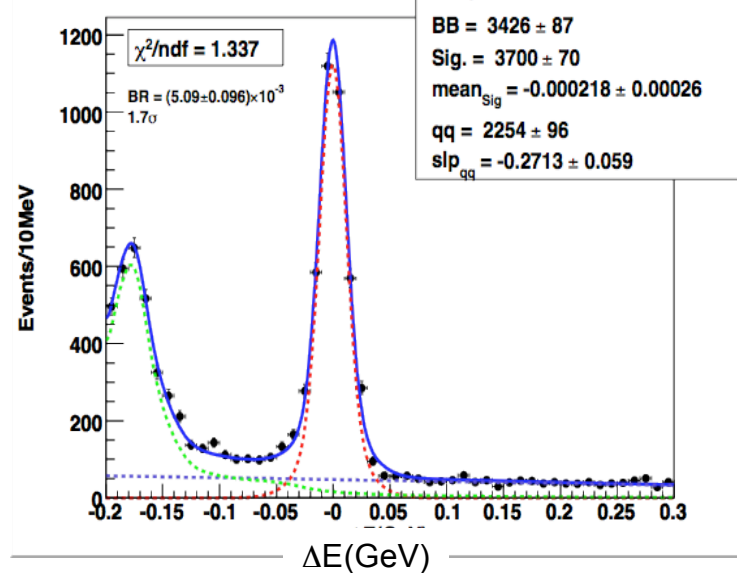
緑: シグナル以外のB崩壊 ( $B \rightarrow D^*\pi$ など)、モンテカルロ

$B \rightarrow [K\pi]_D\pi$



シグナル:  $30531 \pm 200$

$B \rightarrow D_1\pi$  (  $B \rightarrow [KK]_D\pi + B \rightarrow [\pi\pi]_D\pi$  )



$3700 \pm 70$



# B $\rightarrow$ DK のシグナルの導出

- $\Delta E$ 分布をフィットしてシグナルを求める

赤: シグナル、2つのガウシアンの和

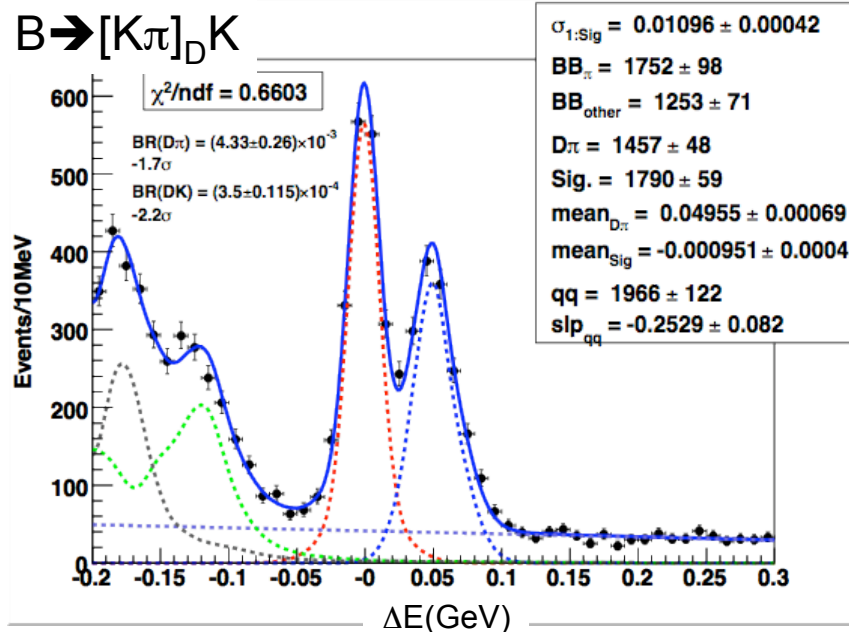
紫:e<sup>+</sup>e<sup>-</sup> $\rightarrow$ qq(q=u,d,c,s) バックグラウンド、直線

茶: B $\rightarrow$ KKK、B $\rightarrow$  $\pi\pi K$ (希崩壊)、2つのガウシアンの和

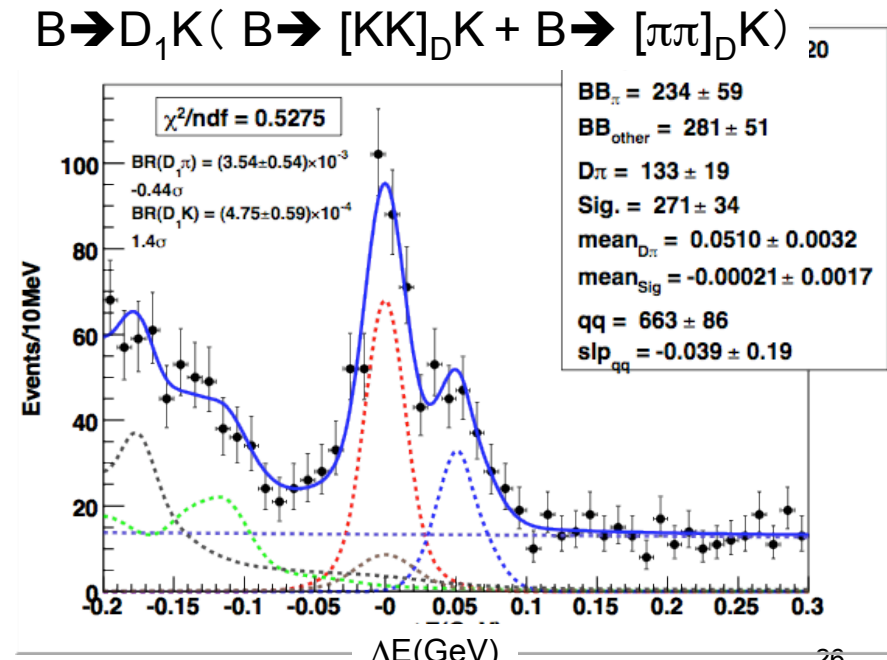
青: B $\rightarrow$ D $\pi$ 、非対称ガウシアンの和

緑: B $\rightarrow$ X $\pi$  (B $\rightarrow$ D<sup>\*</sup> $\pi$ など)、モンテカルロ

灰色: その他のB崩壊 (B $\rightarrow$ D<sup>\*</sup>Kなど)、モンテカルロ



シグナル:  $1790 \pm 59$

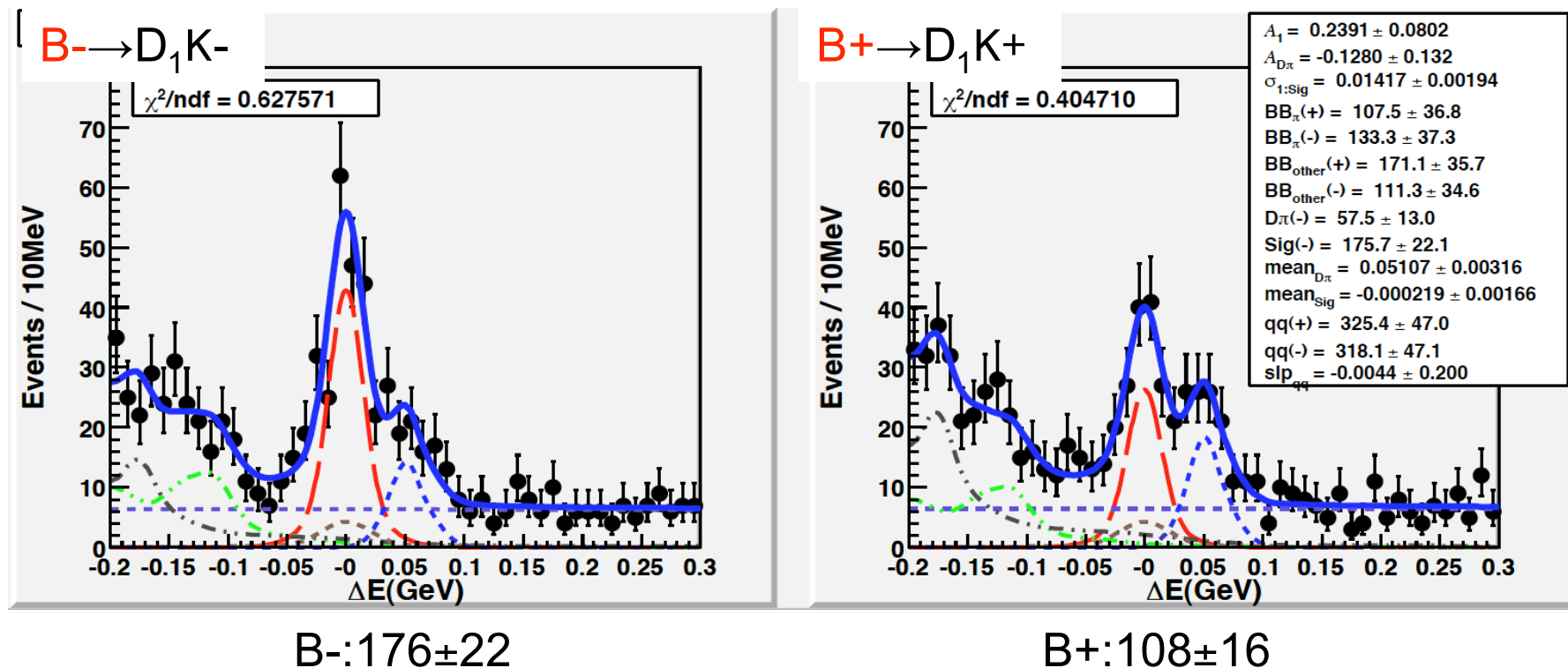


$271 \pm 34$

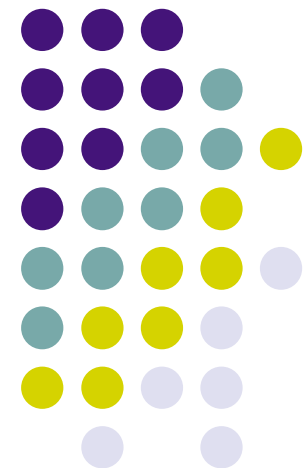


# 電荷を分けた $\Delta E$ 分布

$B^- \rightarrow D_1 K^-$ 、 $B^+ \rightarrow D_1 K^+$ と電荷で分離して $\Delta E$ 分布をフィット



# 結果





# 系統誤差

崩壊分岐比の比  $\mathcal{R}_1$  と CP 非対称度  $\mathcal{A}_1$  は以下のようにシグナル数と検出効率から求まり、系統誤差は表のようになる

$$\mathcal{R}_1 = \frac{N(B^\pm \rightarrow D_1 K^\pm) \times N(B^\pm \rightarrow [K\pi]_D \pi^\pm)}{N(B^\pm \rightarrow D_1 \pi^\pm) \times N(B^\pm \rightarrow [K\pi]_D K^\pm)} \\ / \frac{\epsilon(B^\pm \rightarrow D_1 K^\pm) \times \epsilon(B^\pm \rightarrow [K\pi]_D \pi^\pm)}{\epsilon(B^\pm \rightarrow D_1 \pi^\pm) \times \epsilon(B^\pm \rightarrow [K\pi]_D K^\pm)}$$

$N$ : 各崩壊のシグナル数

$\epsilon$ : 検出効率

$$\mathcal{A}_1 = \frac{N^- - N^+}{N^- + N^+}$$

$N^\pm$ :  $B^\pm \rightarrow D_1 K^\pm$  のシグナル数

誤差の原因	$\Delta \mathcal{R}_1$	$\Delta \mathcal{A}_1$	
フィットパラメータの固定	0.015	0.003	固定したパラメータを $\pm 1\sigma$ 変化
希崩壊バックグラウンド	0.065	0.008	イベント数を $\pm 1\sigma$ 変化
検出効率	0.033		粒子識別、モンテカルロの統計
検出器の電荷非対称性		0.014	$B \rightarrow [K\pi]_D \pi$ の CP 非対称性
合計	0.074	0.016	



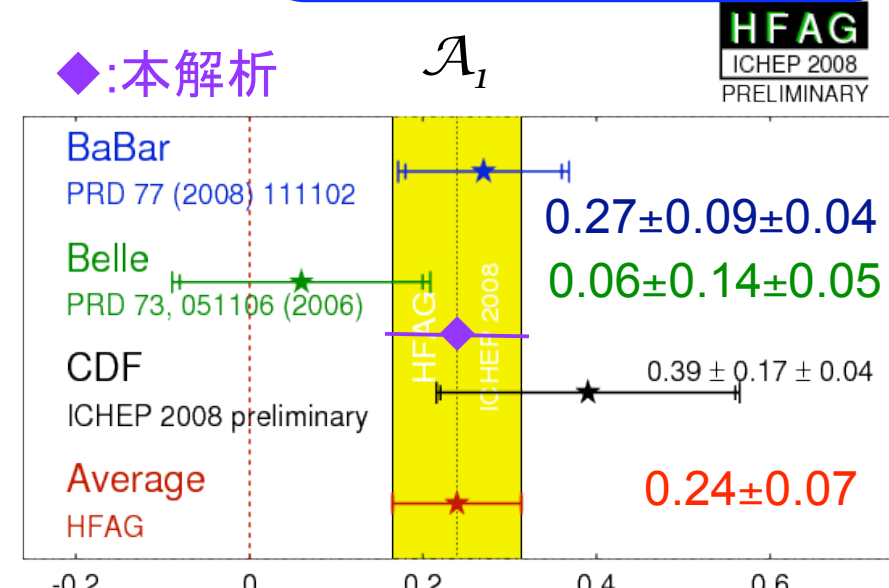
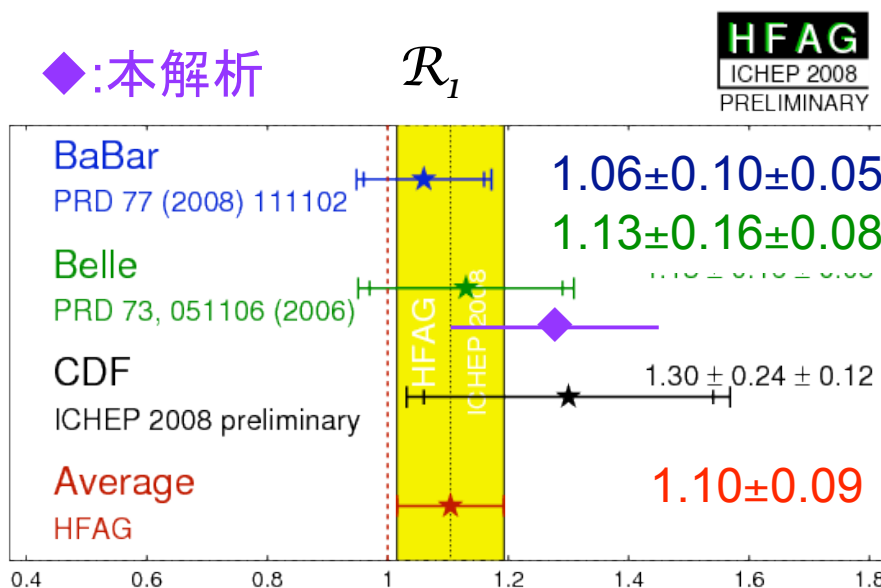
# $R_1$ と $A_1$ の測定結果

崩壊分岐比の比 $R_1$ 、CP非対称度 $A_1$ を測定

$$R_1 = 1.27 \pm 0.17(\text{stat.}) \pm 0.07(\text{syst.}) \quad (\text{暫定})$$

$$A_1 = 0.24 \pm 0.08(\text{stat.}) \pm 0.02(\text{syst.})$$

BaBar: 382MBB  
Belle(前回): 275MBB  
Belle(今回): 388MBB



$R_1, A_1$ ともにBelleの過去の結果と $1\sigma$ で一致

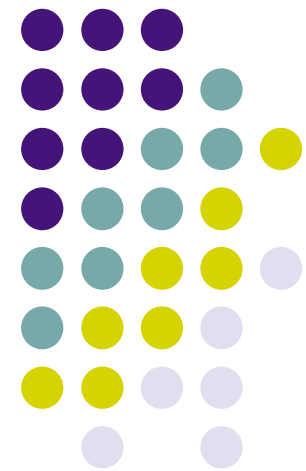
$A_1$ についてはBelleでは初めて $B \rightarrow D_1 K$ で、約 $3\sigma$ のCPの破れを測定



# まとめ

- $B \rightarrow D_1 K$  は ADS 法に用いる崩壊のなかでは崩壊分岐比が大きく、精密測定が可能。
- Belle 実験で収集された  $388 \times 10^6$  BB ペアのデータサンプルを用いた解析の結果、CP 非対称度  $\mathcal{A}_1$  と崩壊分岐比の比  $\mathcal{R}_1$  は
$$\mathcal{A}_1 = 0.24 \pm 0.08(\text{stat.}) \pm 0.02(\text{syst.})$$
$$\mathcal{R}_1 = 1.27 \pm 0.17(\text{stat.}) \pm 0.07(\text{syst.}) \quad (\text{暫定})$$
と測定され、過去の Belle の結果と  $1\sigma$  で一致、さらに  $\mathcal{A}_1$  については Belle では初めて  $B \rightarrow D_1 K$  で、約  $3\sigma$  の CP の破れを測定
- この結果は他の崩壊の解析結果と合わせることにより、 $\phi_3$  の測定精度向上に大きく貢献すると考えられる。

# Back Up





# PID

- LR            eff                fake
  - D daughter (0.3~3.5GeV)

K:>0.3	92.6	15.3
pi:<0.7	93.3	16.7

prompt(1.5~3.5GeV)

K:>0.8	76.3	4.9
pi:<0.8	95.2	15.4

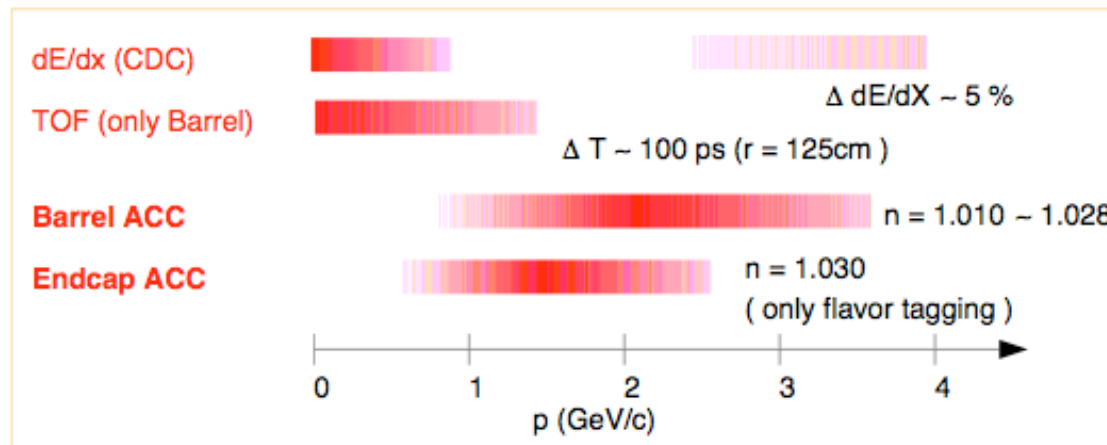


# PID2

$$L_K = L_K^{\text{CDC}} \times L_K^{\text{ACC}} \times L_K^{\text{TOF}}$$

$$L_{pi} = L_{pi}^{\text{CDC}} \times L_{pi}^{\text{ACC}} \times L_{pi}^{\text{TOF}}$$

$$L_K = L_K / (L_K + L_{pi})$$





# FoM

LR :  $B \rightarrow [KK]K$

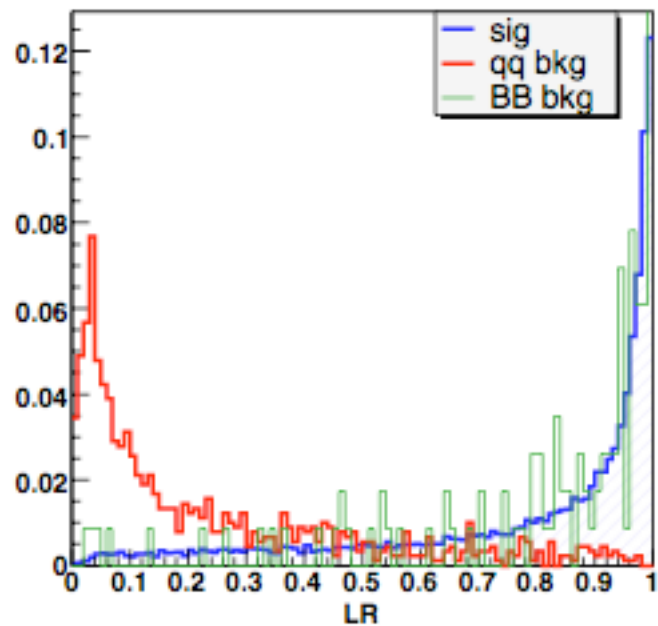
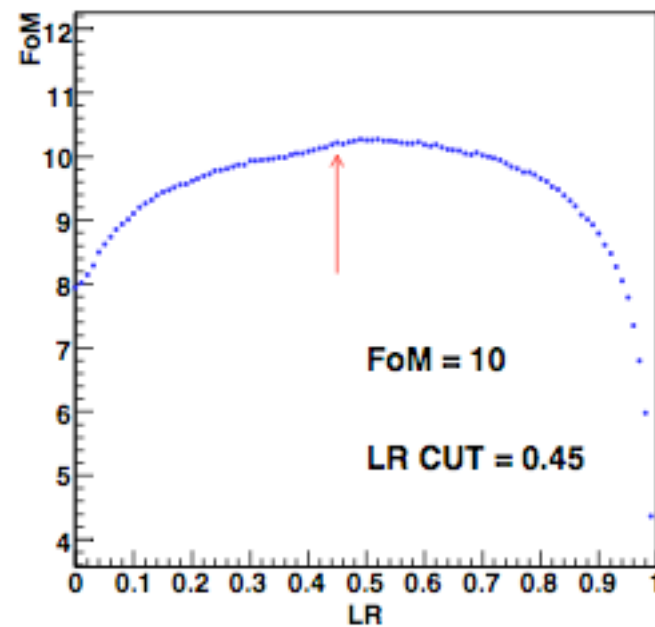
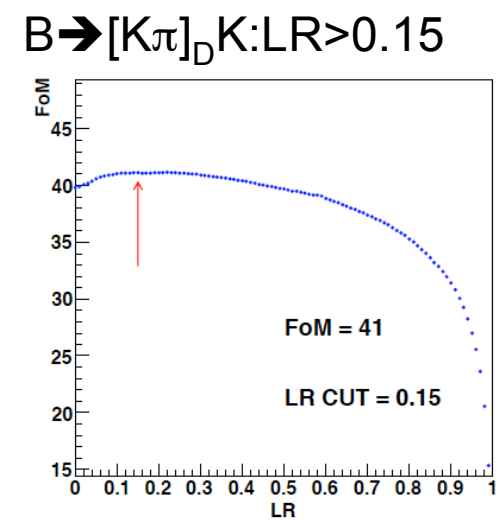
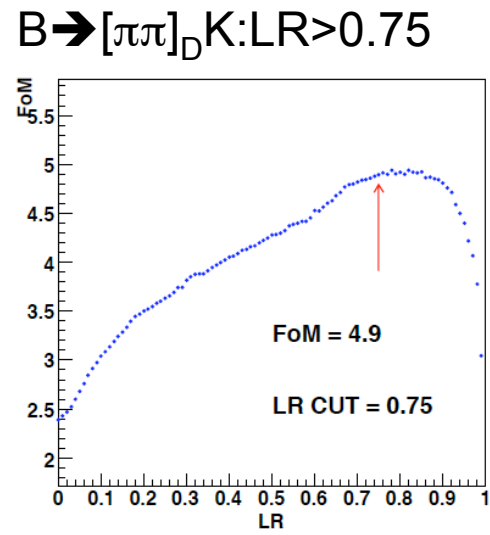
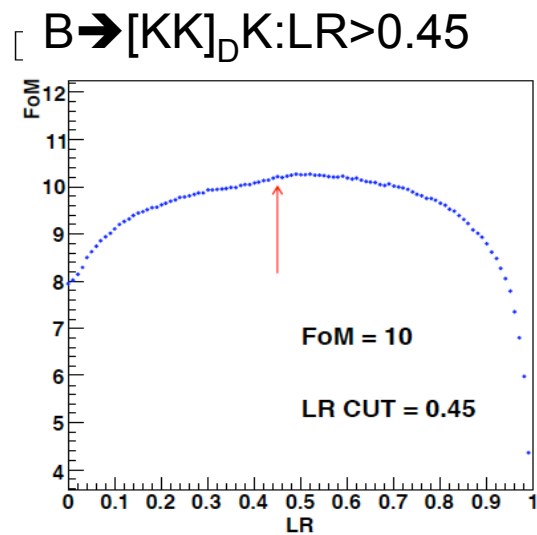


Figure of merit :  $B \rightarrow [KK]K$



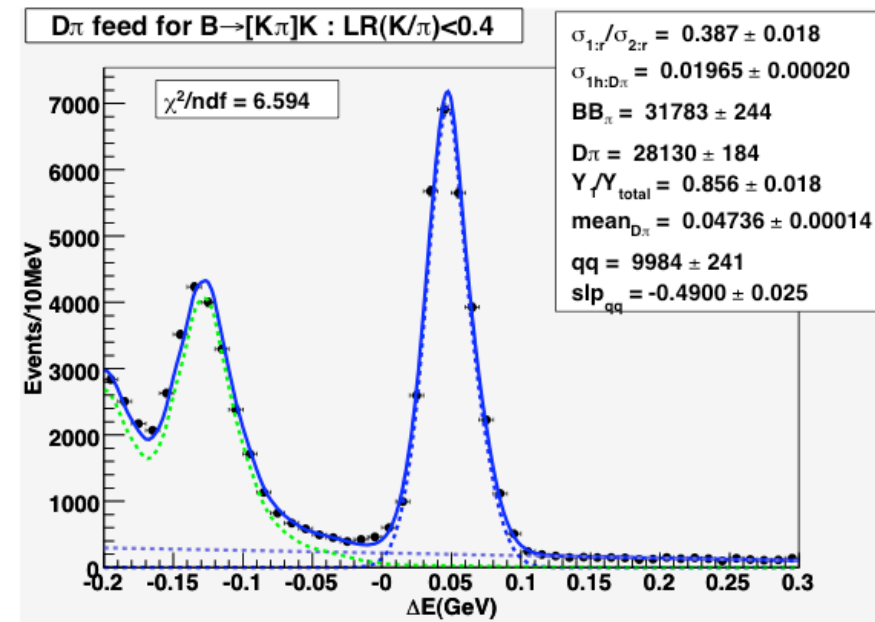


# FoM



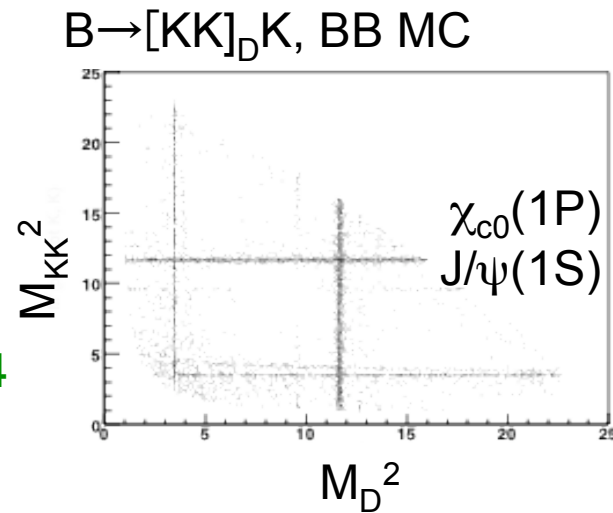
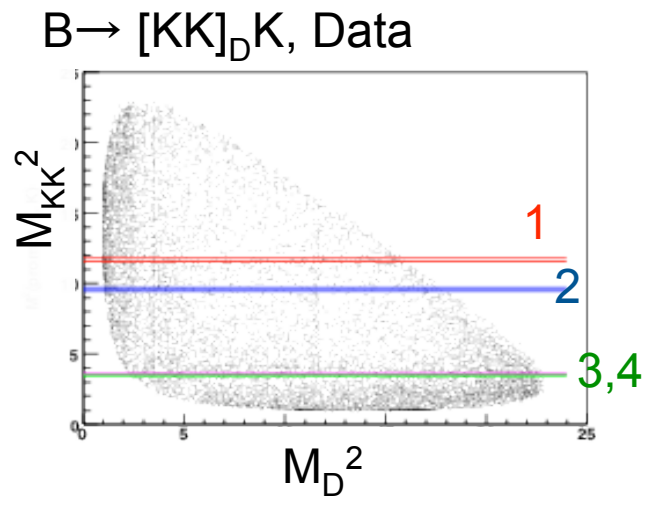


# D<sub>s</sub> feed





# Dalitz



$M_{KK}$ : invariant mass of prompt K + D child K

No additional veto for B $\rightarrow$ [KK]<sub>D</sub>K.



# Nonresonant MC sample

